

بررسی خصوصیات مکانیکی و ضربه‌ای بتن‌های کامپوزیتی توانمند خودتراکم*

امیرحسین صحرائی مقدم^(۱) فریدون امیدیناسب^(۲) احمد دالوند^(۳)

چکیده کامپوزیت‌های بتنی توانمند خودتراکم الیافی (HPFRSCC) مصالح توانمند و شکل‌پذیری هستند که از ترکیب ملامت سیمان و الیاف تشکیل می‌شوند. در این تحقیق خصوصیات مکانیکی و ضربه‌ای این کامپوزیت‌های بتنی به صورت تجربی بررسی شده است. بر روی نمونه‌ها آزمایش‌های متنوعی مانند آزمایش‌های مربوط به بتن خودتراکم تازه، آزمایش‌های مقاومت فشاری، کششی و خمشی، آزمایش اولتراسونیک و آزمایش مقاومت ضربه‌ای انجام شد. نتایج این آزمایش‌ها نشان داد الیاف فولادی می‌تواند بر روی خاصیت خودتراکمی و پیوستگی بتن تأثیر منفی و در بهبود خصوصیات مکانیکی و مقاومت ضربه‌ای بتن تأثیر مثبت داشته باشد که تأثیر آن در بهبود مقاومت ضربه‌ای بسیار قابل توجه‌تر است. در این تحقیق همچنین اثر دو پارامتر افزایش ضخامت دال و افزودن الیاف فولادی در افزایش مقاومت ضربه‌ای دال‌ها بررسی و باهم مقایسه شد، نتیجه این بررسی نشان داد که الیاف فولادی پارامتر بسیار مهم‌تری در افزایش مقاومت ضربه‌ای دال‌ها است.

واژه‌های کلیدی بتن کامپوزیتی، بتن توانمند، بتن خودتراکم، الیاف فولادی، ضربه وزنه افتان.

Investigation of Mechanical and Impact Properties of High Performance Self-Compacting Composite Concrete

Amir Hossein Sahraei Moghadam

Fereydoon Omidinasab

Ahmad Dalvand

Abstract High performance self-compacting fiber reinforced composite concrete (HPFRSCC) are mighty and mighty materials that form a mixture of cement mortar and fiber. In this study, the mechanical and impact properties of these composite concrete have been empirically investigated. Various experiments were carried out on the samples, such as self-compacting concrete tests, compressive, splitting tensile and flexural strength tests, ultrasonic test and impact resistance test. The results of these experiments showed that steel fibers can have a negative effect on the self-compacting and cohesion properties of concrete, and have a positive effect on improving mechanical properties and impact strength of concrete, which has a significantly higher effect on impact resistance. In this study, the effect of two parameters of increasing the thickness of the slab and adding steel fibers to increase the impact strength of the slabs were surveyed and compared. The result of this study showed that steel fiber is a much more important parameter in increasing the impact strength of slabs.

Key Words Composite concrete, High performance concrete, Self-compacting concrete, Steel fiber, Drop weight impact.

* تاریخ دریافت مقاله ۹۷/۱۲/۹ و تاریخ پذیرش آن ۹۸/۵/۱۵ می‌باشد.

(۱) دانش‌آموخته کارشناسی ارشد مهندسی عمران گرایش سازه دانشگاه لرستان

(۲) نویسنده مسئول، استادیار دانشکده فنی و مهندسی دانشگاه لرستان

(۳) استادیار دانشکده فنی و مهندسی دانشگاه لرستان

Email: omidinasab.f@lu.ac.ir

مقدمه

بتن پرکاربردترین مصالح مهندسی عمران است، که به دلیل مزایای فنی و اقتصادی متعدد شاهد گسترش کاربرد آن در انواع سازه‌ها هستیم. از نقاط ضعف بتن و کلاً ماتریس‌های سیمانی، شکنندگی و عملکرد ترد آن‌ها خصوصاً تحت بارهای کششی و ضربه‌ای است. استفاده از الیاف طبیعی و مصنوعی جهت بهبود خواص مکانیکی بخصوص در ارتقا قابلیت جذب انرژی و افزایش مقاومت ضربه‌ای بتن مدت‌ها است که مورد توجه محققان قرار گرفته است [1]. در سال‌های اخیر بتن با مقاومت بالا به‌طور گسترده‌ای در جهان مورد استفاده قرار می‌گیرد که به آن عبارت "بتن توانمند" اطلاق می‌گردد. بتن با مقاومت بالا (توانمند) به بتن‌هایی گفته می‌شود که دارای مقاومت فشاری بالاتر از ۴۲ مگاپاسکال باشند [2,3]. به‌کارگیری بتن‌های مرسوم نیازمند ویبره، در ساخت سازه‌های بتنی پرمیلگرد و با شکل‌های پیچیده همواره مسئله‌ساز بوده است [4]. امروزه تکنولوژی و فناوری نوین، ساخت بتن‌های خودتراکم با قابلیت جریان پذیری بالا را برای حل این مشکل پیشنهاد می‌کند [5]. بتن خودتراکم برای اولین بار برای دستیابی به ساختار بتن پایدار در سال ۱۹۸۸ مطرح گردید و مطالعات اولیه پیرامون بتن خودتراکم توسط Ozawa در سال ۱۹۸۹ و Okamura در سال ۱۹۹۳ در دانشگاه توکیو انجام گرفت [6,7]. بتن خودتراکم دارای قابلیت جریان پذیری بالا و بدون جداشدگی است که می‌تواند به‌سرعت در محل، بدون تراکم اضافی جریان پذیرد و متراکم شود [8]. نتایج تحقیقات گذشته نشان می‌دهد بتن غیرمسلح در مقابل بارهای خمشی و ضربه‌ای دارای نواقصی است [9]. استفاده از الیاف‌های طبیعی و مصنوعی برای افزایش مقاومت بتن در مقابل بارهای خمشی و ضربه‌ای مؤثر است [10] از متداول‌ترین الیاف مورد استفاده جهت افزایش مقاومت بتن، الیاف فولادی می‌باشند [11]. تحقیقات انجام‌شده توسط Rao و همکاران [12] بر روی دال‌های بتنی دوطرفه مسلح شده با الیاف فولادی بر این

نکته تأکید دارند که افزایش حجمی الیاف از ۰/۸ به ۱/۲ درصد سبب افزایش قابل ملاحظه‌ای در جذب انرژی می‌گردد. Banthia و همکاران [13] مقاومت ضربه‌ای بتن حاوی نسل جدید الیاف‌های پلیمری و الیاف فولادی را باهم مقایسه کردند. در این تحقیق جذب انرژی تیرهای بتنی توسط دستگاه آزمایش وزنه افتان اندازه‌گیری شد و مشاهده شد تیرهای دارای الیاف فولادی دارای جذب انرژی به‌مراتب بالاتری می‌باشند. Soruoshian و همکاران [14] در تحقیقات خود نشان می‌دهند که اثر افزودن الیاف در افزایش مقاومت ضربه‌ای اولین ترک و نهایی بسیار بیشتر از اثر آن بر روی مقاومت خمشی و طاقت بتن است. در این تحقیق از ترکیب بتن‌های توانمند خودتراکم با الیاف فولادی جهت ساخت نمونه‌ها استفاده‌شده و آزمایش‌های متنوعی مانند آزمایش‌های بتن خودتراکم تازه، آزمایش‌های مقاومت فشاری، کششی و خمشی، آزمایش اولتراسونیک و آزمایش مقاومت ضربه‌ای به‌صورت ضربه وزنه افتان بر روی نمونه‌ها انجام می‌شود. هدف اصلی در این تحقیق بررسی مقاومت ضربه‌ای دال‌ها بتنی کامپوزیتی توانمند و مقایسه تأثیر دو پارامتر افزایش ضخامت و افزودن الیاف فولادی در افزایش مقاومت ضربه‌ای دال‌ها است.

ساخت نمونه‌های آزمایشگاهی

در این تحقیق تعداد ۲۷ عدد دال بتنی با ابعاد $40 \times 40 \times 27$ با ضخامت‌های ۲/۵، ۵ و ۷/۵ سانتی‌متر ساخته شد. از هرکدام از ضخامت‌های گفته‌شده تعداد ۹ عدد دال که ۳ عدد بدون الیاف، ۳ عدد دارای ۰/۵ درصد الیاف فولادی و ۳ عدد دارای ۱ درصد الیاف فولادی است، ساخته شد. مشخصات این دال‌ها و طرح اختلاط بکار برده شده برای ساخت آن‌ها در جدول (۱) آمده است. بر روی دال‌های ساخته‌شده آزمایش مقاومت ضربه‌ای به‌صورت ضربه وزنه انجام گرفت. همچنین در این تحقیق تعداد ۱۵ عدد نمونه فشاری مکعبی با ضلع ۱۰ سانتی‌متر، ۱۵ عدد نمونه کششی استوانه‌ای با ابعاد 30×15 سانتی‌متر و ۱۵ عدد

و سیمان به صورت خشک به مدت ۲ دقیقه در میکسر مخلوط شده و سپس ۹۰ درصد آب مورد نیاز به صورت تدریجی به مخلوط اضافه شد، فوق روان کننده با آب باقی مانده ترکیب و به بتن اضافه گردید. برای جلوگیری از مشکل گلوله شدن، الیافها در مرحله آخر و به صورت تدریجی به بتن اضافه شدند. بتن ساخته شده در قالبهای چوبی مناسبی ریخته شده و برای جلوگیری از جذب آب بتن توسط چوب، سطح تماس بین بتن و قالب چوبی با پوشش پلاستیکی از هم جدا شد. تصاویری از نحوه ساخت نمونهها در شکل (۲) نشان داده شده است. نمونهها بعد از ۲۴ ساعت از قالب جدا و در شرایط مناسبی به صورت مرطوب عمل آوری و بعد از گذشت زمان ۲۸ روز آزمایشهای لازم بر روی آنها انجام شد.

تیر کوچک خمشی با ابعاد $۳۲ \times ۸ \times ۶$ سانتی متر با درصدهای متفاوت الیاف فولادی نشان داده شده در جدول (۲) ساخته شد. در ساخت نمونهها از سیمان پرتلند (تیپ ۲ بر اساس استاندارد (ASTM C150) [15] استفاده شده است. الیاف فولادی مورد استفاده از نوع دوسر قلاب و با طول ۵ سانتی متری و قطر $۰/۸$ میلی متر است، مشخصات این الیاف در جدول (۳) نشان داده شده است. مصالح سنگی استفاده شده در این تحقیق همگی عبوری از الک نمره ۸ می باشند. برای ایجاد خاصیت خودتراکمی در بتن از محلول فوق روان کننده کربوکسیلاتی با نام تجاری Dezobuild 10 استفاده شد. تصویر مصالح مورد استفاده در این تحقیق در شکل (۱) آمده است. مراحل ساخت بتن به گونه ای بود که ابتدا ماسه

جدول ۱ جزئیات ابعاد و طرح اختلاط بکار رفته در ساخت دالها

Specimen	Dimensions	Mix-design					Number
		Aggregate (kg/m ³)	Cement (kg/m ³)	Water (kg/m ³)	SP (kg/m ³)	Volume (%) fiber	
T2.5-S0	40×40×2.5	1006	1006	383	4.8	0	3
T2.5-S0.5	40×40×2.5	1006	1006	383	4.8	0.5	3
T2.5-S1	40×40×2.5	1006	1006	383	4.8	1	3
T5-S0	40×40×5	1006	1006	383	4.8	0	3
T5-S0.5	40×40×5	1006	1006	383	4.8	0.5	3
T5-S1	40×40×5	1006	1006	383	4.8	1	3
T7.5-S0	40×40×7.5	1006	1006	383	4.8	0	3
T7.5-S0.5	40×40×7.5	1006	1006	383	4.8	0.5	3
T7.5-S1	40×40×7.5	1006	1006	383	4.8	1	3

جدول ۲ جزئیات ابعاد و میزان الیاف بکار رفته در ساخت نمونههای فشاری، کششی و خمشی

Specimen	Volume fiber (%)	Dimensions of compressive specimens (cm)	Dimensions of tensile specimens (cm)	Dimensions of flexural specimens (cm)	Number
S0	0	10×10×10	10×20	32×8×6	3
S0.25	0.25	10×10×10	10×20	32×8×6	3
S0.5	0.5	10×10×10	10×20	32×8×6	3
S0.75	0.75	10×10×10	10×20	32×8×6	3
S1	1	10×10×10	10×20	32×8×6	3

جدول ۳ خصوصیات الیاف فولادی مورد استفاده

Fiber	Length (cm)	Diameter (cm)	L/D	Density (kg/m ³)	(GPa) E	Tensile strength (MPa)
Steel	5	0.08	62.5	7850	200	1100



شکل ۱ مصالح مورد استفاده در ساخت نمونه‌ها



شکل ۲ مراحل ساخت نمونه‌ها

جعبه L و جعبه U انجام گرفت. Nagataki و همکارانش [16] نشان دادند میزان پهن شدگی و زمان جریان یافتن بتن در آز مایش G-ring دو پارامتر مهم در بررسی کارایی بتن‌های خودتراکم می‌باشند. در این آز مایش قطر پهن شدگی بتن و زمان پهن شدگی بتن به قطر ۵۰۰ میلی‌متر اندازه‌گیری شد. Mastali و همکاران [3] بیان کردند که چنانچه قطر پهن شدگی برای بتنی بیشتر از

انجام آز مایش‌ها

آزمایش‌های بتن خودتراکم تازه

برای تعیین خودتراکم بودن بتن مورد استفاده و همچنین تأثیر الیاف فولادی بر روی خاصیت خودتراکمی بتن، آز مایش‌هایی بر روی بتن تازه انجام شد. در این مرحله از برنامه آز مایشگاهی بر روی پنج طرح اختلاط نشان داد شده در جدول (۲) آز مایش‌های رینگ G، قیف V،

موردنیاز برای پخش شدگی افزایش می‌یابد. در شکل (۳) نحوه انجام آزمایش قیف V مشاهده می‌شود.

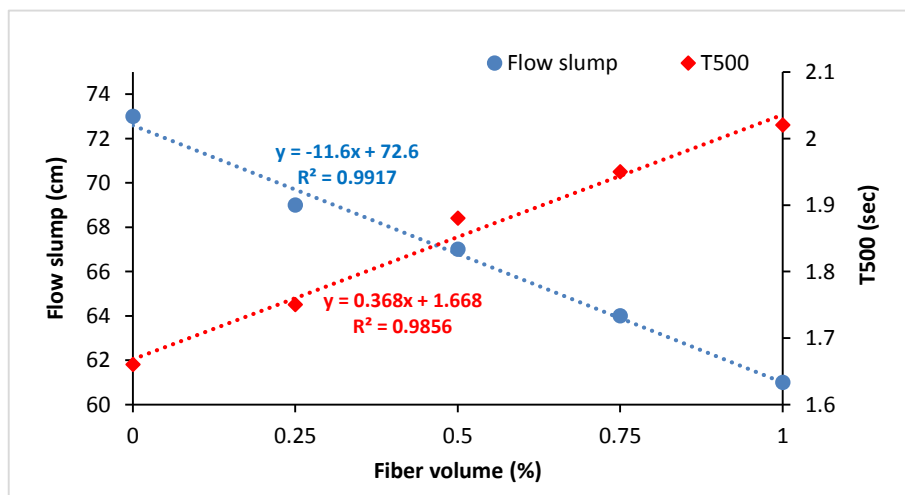


شکل ۳ آزمایش قیف V

۶۰۰ میلی‌متر حاصل شود، می‌توان آن را یک بتن خودتراکم به حساب آورد. نتایج آزمایش‌های بتن تازه در جدول (۴) نشان داده شده است. اسلایپ روانی برای طرح اختلاط مورد استفاده بدون افزودن الیاف ۷۳ سانتی‌متر به دست آمد که نشان از خاصیت خودتراکمی بالای بتن مورد استفاده دارد. نتایج آزمایش‌ها نشان می‌دهد افزودن الیاف فولادی می‌تواند تأثیر منفی بر روی خاصیت خودتراکمی بتن داشته باشد. در نمودار شکل (۴) با ارائه یک تحلیل رگرسیون ارتباط بین میزان الیاف فولادی با قطر پهن‌شدگی و زمان موردنیاز برای پخش بتن به صورت خطی به دست آمد، به طوری که با افزایش میزان الیاف پخش‌شدگی بتن کاهش و زمان

جدول ۴ نتایج آزمایش‌های بتن خودتراکم تازه

Mix design	Flow slump		U-box (H ₁ -H ₂) (cm)	L-box (H ₂ /H ₁)	V-funnel (Sec)
	D (sec)	T ₅₀₀ (Sec)			
S0	73	1.66	12	0.94	3.21
S0.25	69	1.75	14	0.88	4.22
S0.5	67	1.88	15	0.84	4.89
S0.75	64	1.95	17	0.81	5.32
S1	61	2.02	18	0.79	5.97



شکل ۴ ارتباط بین درصد الیاف با خواص خودتراکمی بتن در آزمایش G-ring

آزمایش مقاومت فشاری

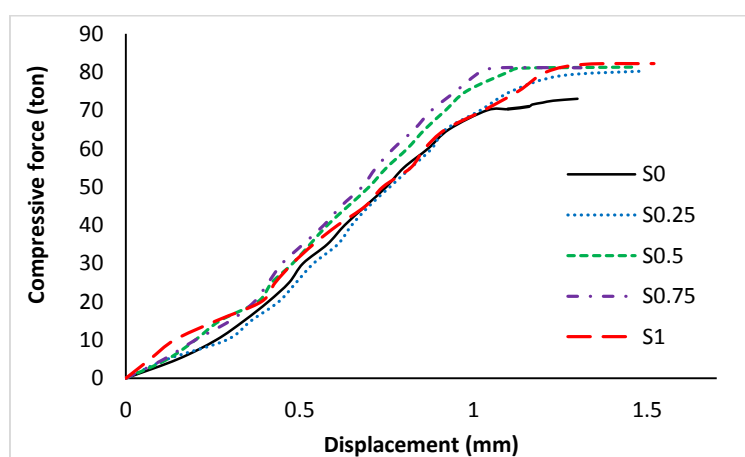
برای تعیین مقاومت فشاری بر روی ۱۵ عدد نمونه مکعبی با ضلع ۱۰ سانتی‌متر آزمایش مقاومت فشاری بر اساس استاندارد ASTM C39 [17] با استفاده از جک ۲۰۰ تنی انجام شد. در این آزمایش نیروی فشاری تحمل شده توسط نمونه‌ها برداشت و از طریق رابطه (۱) مقاومت فشاری نمونه برحسب مگاپاسکال محاسبه شد. در این رابطه P حداکثر نیروی فشاری تحمل شده توسط نمونه و A مساحت سطح مقطع نمونه مکعبی است:

$$f_c = \frac{P}{A} \quad (1)$$

نتایج آزمایش مقاومت فشاری در جدول (۵) آمده است. میانگین مقاومت فشاری نمونه‌های بتنی شاهد (بدون الیاف) برابر ۷۴/۵ مگاپاسکال به دست آمد که نشان‌دهنده توانمند بودن طرح اختلاط مورد استفاده است. نتایج آزمایش مقاومت فشاری بر روی نمونه‌های دارای درصدهای مختلف الیاف فولادی نشان می‌دهد که این الیاف نمی‌تواند تأثیر قابل‌توجهی را بر روی افزایش مقاومت فشاری بتن‌های توانمند داشته باشد. با اندازه‌گیری تغییر مکان نمونه‌ها تا لحظه گسیختگی نیز مشاهده شد الیاف فولادی بر روی تغییر مکان فشاری نمونه‌ها نیز نمی‌تواند تأثیر قابل‌ملاحظه‌ای داشته باشد. نمودار بار فشاری-تغییر مکان نمونه‌ها برای ۵ طرح اختلاط مورد استفاده در شکل (۵) نشان داده شده است.

جدول ۵ نتایج آزمایش مقاومت فشاری

Specimen	Volume of fiber (%)	SP1		SP2		SP3		Ave	
		C.S (Compressive strength) (MPa)	C.D (Compressive displacement) (mm)	C.S (MPa)	C.D (mm)	C.S (MPa)	C.D (mm)	C.S (MPa)	C.D (mm)
S0	0	77.3	1.3	68.7	1.51	77.6	1.44	74.5	1.42
S0.25	0.25	78.3	1.46	80.2	1.48	77.9	1.57	78.8	1.5
S0.5	0.5	81.3	1.47	80.9	1.60	78.6	1.49	80.3	1.52
S0.75	0.75	79.5	1.49	82.7	1.54	81.1	1.31	81.1	1.45
S1	1	82.2	1.52	84.5	1.48	79.8	1.47	82.2	1.49



شکل ۵ نمودار بار فشاری-تغییر مکان نمونه‌ها

۷۴، ۱۰۹، ۱۱۳ و ۱۲۳ در صدی مقاومت کششی نسبت به نمونه شاهد شود. مشاهدات نشان داد که الیاف فولادی می‌تواند با ایجاد دوختگی در ترک کششی به وجود آمده در وسط نمونه‌ها باعث افزایش بیشتر مقاومت کششی شود. با محاسبه تغییر مکان ایجاد شده تا لحظه شکست در نمونه‌ها نیز مشاهده شد که الیاف فولادی می‌تواند تغییر مکان حداکثر تا ایجاد گسیختگی کششی در نمونه‌ها را نیز افزایش دهد. خصوصیات فیزیکی الیاف‌های فولادی مورد استفاده که در دو انتهای خود دارای قلاب می‌باشند نیز باعث بهبود این شرایط شد، زیرا قلاب انتهای این الیاف‌ها با ایجاد درگیری بیشتر با بتن، موجب دوختگی بیشتر ترک‌ها شده و شکل‌پذیری نمونه را به مقدار قابل توجهی افزایش دادند. افزودن ۱ درصد الیاف فولادی توانست تغییر مکان حداکثر تا ایجاد گسیختگی در نمونه را تا حدود ۴ برابر افزایش دهد.

آزمایش مقاومت کششی

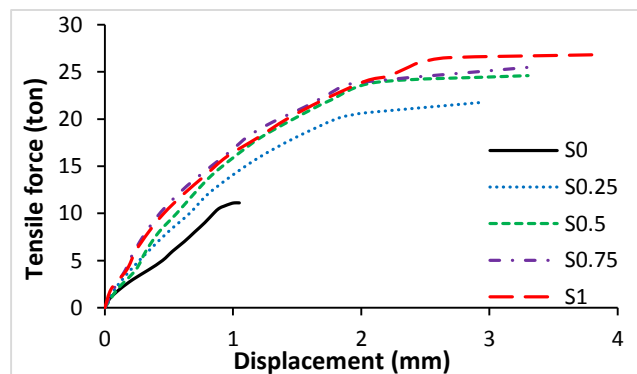
برای تعیین مقاومت کششی تعداد ۱۵ عدد نمونه استوانه-ای با ابعاد ۱۵×۳۰ سانتی‌متر ساخته و آزمایش مقاومت کششی به روش برزیلی (دونیم شدن) بر اساس استاندارد ASTM C496 [18] بر روی آن‌ها انجام گرفت. با انجام این آزمایش حداکثر نیروی کششی تحمل شده توسط نمونه‌ها برداشت و از طریق رابطه (۲) مقاومت کششی نمونه‌ها برحسب مگاپاسکال محاسبه شد. در این رابطه P حداکثر نیروی کششی تحمل شده توسط نمونه و L و d به ترتیب طول و قطر نمونه استوانه‌ای است:

$$(۲) \text{ مقاومت کششی} = \frac{2P}{\pi.L.d}$$

نتایج آزمایش مقاومت کششی در جدول (۶) نشان داده شده است. نتایج نشان می‌دهد الیاف فولادی می‌تواند تأثیر بسیار زیادی بر روی مقاومت کششی بتن داشته باشند. به طوری که افزودن ۰/۲۵، ۰/۵، ۰/۷۵ و ۱ درصد الیاف فولادی توانست به ترتیب موجب افزایش

جدول ۶ نتایج آزمایش مقاومت کششی

Specimen	Volume of fiber (%)	SP1		SP2		SP3		Ave	
		T.S (Tensile strength) (MPa)	T.D (Tensile displacement) (mm)	T.S (MPa)	T.D (mm)	T.S (MPa)	T.D (mm)	T.S (MPa)	T.D (mm)
S0	0	3.54	1.05	3.69	1.16	3.79	0.88	3.67	1.03
S0.25	0.25	6.94	2.96	6.22	2.14	5.98	2.36	6.38	2.49
S0.5	0.5	7.63	3.14	7.14	3.3	8.28	2.69	7.68	3.04
S0.75	0.75	8.15	3.39	7.39	2.99	7.88	3.49	7.81	3.29
S1	1	8.63	3.56	7.37	2.82	8.53	3.8	8.18	3.93



شکل ۶ نمودار بار کششی-تغییر مکان نمونه‌ها

آن‌ها در حین بارگذاری تا لحظه شکست برداشت و نمودار بار-تغییر مکان خمشی تیرها رسم شد. در این آزمایش مشاهده شد که الیاف فولادی می‌تواند بعد از ایجاد ترک اولیه در تیرها با ایجاد پیوستگی در دو طرف ترک ایجادشده و جلوگیری از گسترش آن، رفتار ترد تیرهای بتنی غیرمسلح را بهبود بخشد و مقاومت خمشی و شکل‌پذیری آن‌ها را به‌طور قابل‌توجهی افزایش دهد. هرچقدر میزان الیاف فولادی در تیر افزایش می‌یابد، میزان مقاومت و شکل‌پذیری نیز نسبت به نمونه شاهد به میزان بیشتری افزایش پیدا می‌کند، به‌طوری‌که در بهترین حالت افزودن ۱ درصد الیاف فولادی در نمونه S1 نسبت به نمونه بدون الیاف S0 موجب افزایش ۸۷ درصدی مقاومت خمشی شد. میزان افزایش شکل‌پذیری تیرها نیز از نمودار بارخمشی-تغییر مکان نشان داده شده در شکل (۸) قابل‌مشاهده است. در بهترین حالت تغییر مکان نهایی تیر دارای ۱ درصد الیاف فولادی نسبت نمونه شاهد افزایش تقریباً ۶ برابری داشته است.

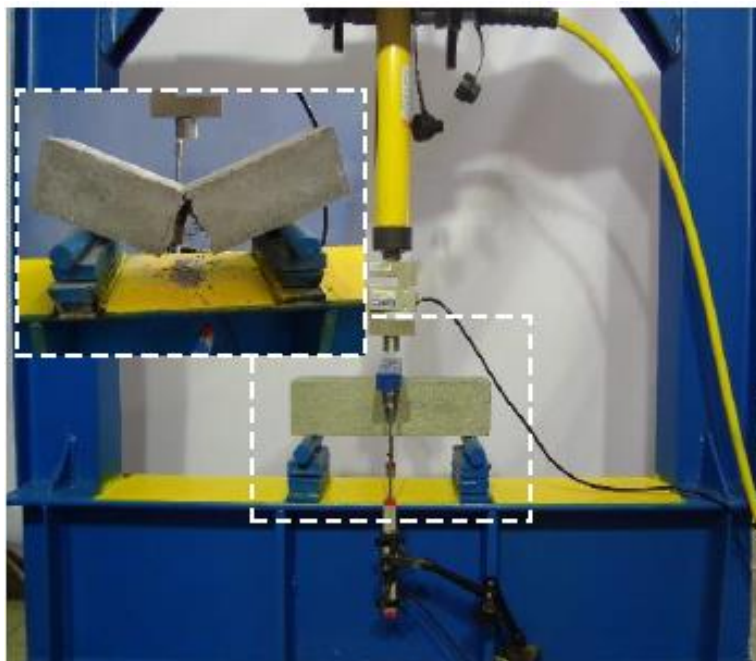
نمودار بار-تغییر مکان برای نمونه‌های کششی در شکل (۶) نشان داده شده است. مطالعات قبلی نیز افزایش مقاومت کششی بتن‌های خودتراکم را در اثر افزودن الیاف فولادی گزارش کرده‌اند [19-22].

آزمایش مقاومت خمشی

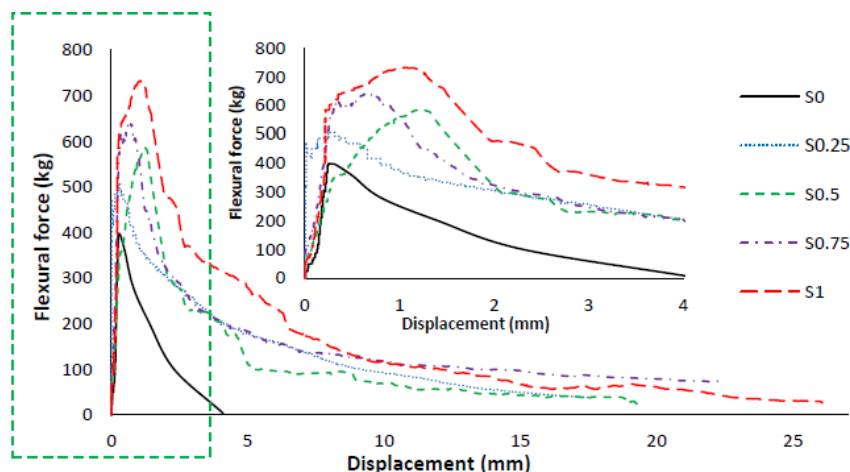
برای تعیین مقاومت خمشی ۱۵ عدد تیر کوچک خمشی با ابعاد $32 \times 8 \times 6$ سانتی‌متر ساخته و تحت آزمایش خمشی سه‌نقطه‌ای (اعمال یک‌بار متمرکز در وسط دهانه) بر اساس استاندارد ASTM C78 [23] مطابق شکل (۷) قرار گرفتند. در این آزمایش حداکثر بار خمشی تحمل شده توسط نمونه‌ها برداشت و از طریق رابطه (۳) مقاومت خمشی تیرها بر حسب مگاپاسکال محاسبه شد:

$$M = \frac{3PL}{2b.d^2} \quad (3)$$

در این رابطه P حداکثر نیروی خمشی تحمل شده توسط تیر و L و b و d نیز به ترتیب طول، عرض و ارتفاع تیر می‌باشند. با نصب LVDT در وسط دهانه تیرها خیز



شکل ۷ انجام آزمایش خمشی سه‌نقطه‌ای بر روی تیرها



شکل ۸ نمودار بار خمشی-تغییر مکان نمونه‌ها

جدول ۷ نتایج آزمایش مقاومت خمشی

Specimen	Volume of fiber (%)	SP1		SP2		SP3		Ave	
		F.S (Flexural strength) (MPa)	F.D (Flexural displacement) (mm)	F.S (MPa)	F.D (mm)	F.S (MPa)	F.D (mm)	F.S (MPa)	F.D (mm)
S0	0	4.98	4.1	4.14	4.22	5.24	4.71	4.79	4.34
S0.25	0.25	6.18	14.98	6.34	17.54	5.98	16.24	6.17	16.25
S0.5	0.5	7.29	17.39	6.88	19.75	7.32	19.28	7.16	18.81
S0.75	0.75	7.70	24.34	8.36	22.31	8.14	25.12	8.07	23.92
S1	1	9.16	26.09	9.01	25.08	8.67	27.62	8.95	26.26

در این رابطه V سرعت پالس برحسب کیلومتر بر ثانیه (km/s) ، L فاصله بین دو مبدل برحسب میلی‌متر (mm) و برابر با 100 میلی‌متر و T زمان انتقال امواج برحسب میکروثانیه (μsec) است. نتایج این آزمایش نشان می‌دهد با افزایش درصد حجم الیاف سرعت موج پالس کاهش می‌یابد، این بدان معناست که افزودن الیاف به بتن موجب افزایش حفرات و کاهش تراکم بتن می‌شود. در نمودار شکل (۱۰) با ارائه یک تحلیل رگرسیون بین نتایج سرعت موج التراسونیک و نتایج آزمایش مربوط به بتن خودتراکم تازه (G-ring) نشان داده شده که افزایش میزان الیاف در بتن به همان نسبت که موجب کاهش روانی در بتن خودتراکم تازه می‌شود موجب کاهش سرعت پالس در بتن سخت شده نیز می‌شود و میان نتایج این پارامترها رابطه خطی وجود دارد.

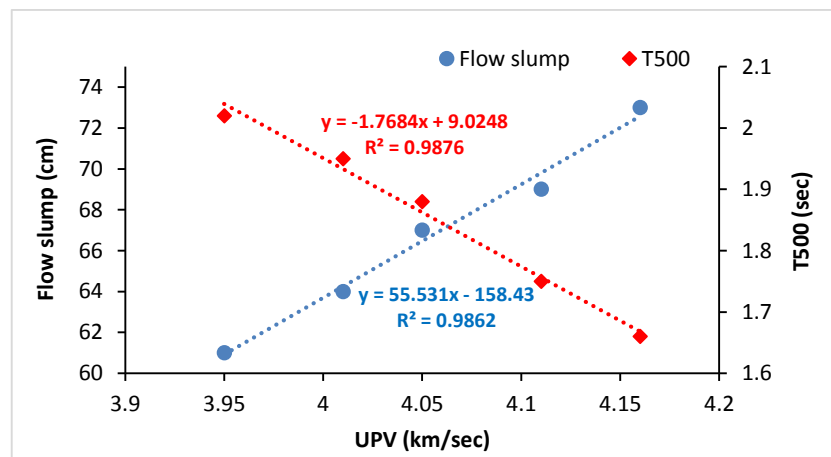
آزمایش اولتراسونیک (UPV)

آزمایش اولتراسونیک یکی از آزمایش‌های غیر مخرب بتن است که نتایج آن می‌تواند نشان‌دهنده کیفیت بتن باشد [24]. محققان مختلفی روابط بین خصوصیات مکانیکی بتن (مدول الاستیسیته، مقاومت فشاری، مقاومت کششی و ...) و سرعت پالس اولتراسونیک را مورد بررسی قرار داده‌اند [25,26]. آزمایش اولتراسونیک بر روی نمونه‌های مکعبی با ضلع 10 سانتی‌متر بر روی 5 طرح اختلاط نشان داده شده در جدول (۲) انجام شد تا اثر الیاف‌های فولادی بر روی تراکم و کیفیت بتن مشاهده شود. این آزمایش از روش ارسال مستقیم مطابق شکل (۹) انجام شد و سرعت موج پالس با استفاده از رابطه (۴) محاسبه شد:

$$\text{سرعت موج پالس} = \frac{L}{T} \quad (4)$$



شکل ۹ انجام آزمایش اولتراسونیک (UPV)



شکل ۱۰ ارتباط بین سرعت پالس با خواص خودتراکمی بتن در آزمایش G-ring

فولادی به وزن ۵/۸ کیلوگرم است که با استفاده از کابل فولادی و قرقره نصب شده بر روی دستگاه تا ارتفاع ۱/۵ متر بالا رفته و به صورت مکرر بر روی نمونه تا ایجاد گسیختگی در آن‌ها رها می شود. در دستگاه ساخته شده برای حرکت گوی در یک مسیر مستقیم از یک سازه هدایت کننده گوی، شامل یک مکعب فولادی و لوله پلاستیکی استفاده شده است. در این آزمایش سه پارامتر تعداد ضربه برای ایجاد اولین ترک قابل رویت، تعداد ضربه بر ایجاد انهدام در دال و همچنین انرژی جذب شده دال تا لحظه انهدام ثبت شده است. انرژی جذب شده توسط دال‌ها تا لحظه انهدام از رابطه (۵)

آزمایش مقاومت ضربه‌ای

تعداد ۲۷ عدد دال با ابعاد ۴۰×۴۰ در ضخامت‌های مختلف ۲/۵، ۵ و ۷/۵ سانتی‌متر ساخته و تحت اثر ضربه ناشی از برخورد وزنه افتان آزمایش شدند. در هر ضخامت ۹ عدد دال شامل ۳ عدد دال بدون الیاف، ۳ عدد حاوی ۰/۵ در صد الیاف فولادی و ۳ عدد حاوی ۱ درصد الیاف فولادی ساخته شد. با انجام این آزمایش اثر دو پارامتر ضخامت و الیاف فولادی بر روی مقاومت ضربه‌ای دال‌ها بررسی و باهم مقایسه شد. برای انجام این آزمایش دستگاهی مطابق شکل (۱۱) طراحی و ساخته شد، دستگاه ضربه ساخته شده شامل یک گوی

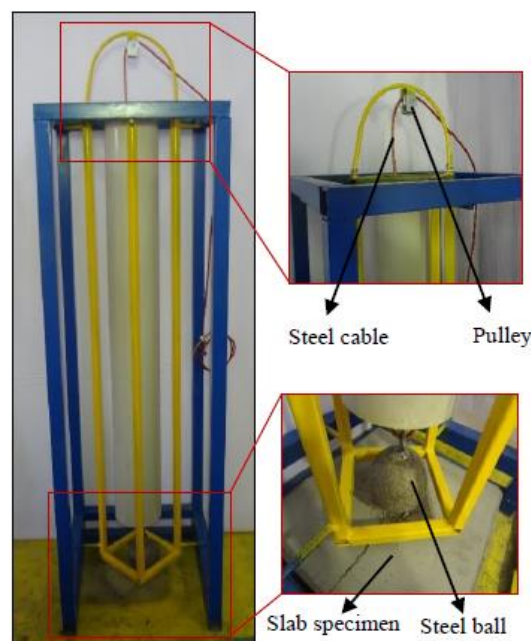
دال‌های با ضخامت بیشتر، قابل توجه‌تر بوده است به طوری که افزودن ۰/۵ درصد الیاف فولادی در دال‌های با ضخامت ۲/۵ سانتی‌متر توانست مقاومت اولین ترک را به میزان ۱۸/۳۷ برابر نسبت به نمونه شاهد افزایش دهد، در صورتی که همین مقدار الیاف در دال‌های با ضخامت ۵ و ۷/۵ سانتی‌متر توانست به ترتیب باعث افزایش ۲۶/۰۹ و ۳۳/۳۹ برابری مقاومت اولین ترک نسبت به نمونه شاهد شود. همچنین افزودن ۱ درصد الیاف فولادی در این دال‌ها به ترتیب افزایش ۳۶/۹۳، ۳۷/۸۳ و ۴۷/۷۲ برابری را در پارامتر مقاومت اولین ترک ایجاد نموده است. از طرفی افزایش ضخامت دال‌ها برخلاف الیاف فولادی نتوانست افزایش مقاومت اولین ترک را به اندازه قابل توجهی افزایش دهد. به طوری که میانگین تعداد ضربات برای ایجاد اولین ترک در نمونه‌های بدون الیاف با ضخامت ۲/۵ سانتی‌متر، ۱/۶۷ ضربه بود که با افزایش ۲ و ۳ برابری ضخامت دال این پارامتر به اعداد ۲/۶۷ و ۶ افزایش یافت که این افزایش در مقایسه با تأثیر الیاف فولادی ناچیز و قابل چشم‌پوشی است.

برحسب کیلوژول محاسبه شده است که در این رابطه N تعداد ضربات برای ایجاد انهدام، W وزن گوی فولادی مورد استفاده برحسب کیلو نیوتن (kN) و H ارتفاع سقوط گوی برحسب متر (m) است:

$$(5) \quad N \times W \times H = \text{انرژی جذب شده}$$

در این تحقیق معیار انهدام در دال‌ها، ایجاد حفره بر اثر ضربه ناشی از برخورد گوی یا گسترش ترک‌های ایجاد شده در تمام سطح دال (چندتکه شدن دال) در نظر گرفته شده است.

مقاومت اولین ترک. تعداد ضربه برای ایجاد اولین ترک برای ۲۷ عدد دال ثبت و در جدول (۸) آمده است. لحظه ایجاد ترک‌های اولیه در دال‌ها در شکل (۱۲) نشان داده شده است. با بررسی نتایج حاصل از این آزمایش به نقش بسیار بالای الیاف فولادی در افزایش مقاومت اولین ترک نمونه‌ها پی می‌بریم. با بررسی وضعیت دال‌های دارای الیاف فولادی در ضخامت‌های مختلف و مقایسه آن‌ها با نمونه‌های شاهد متوجه می‌شویم که اثر الیاف فولادی در

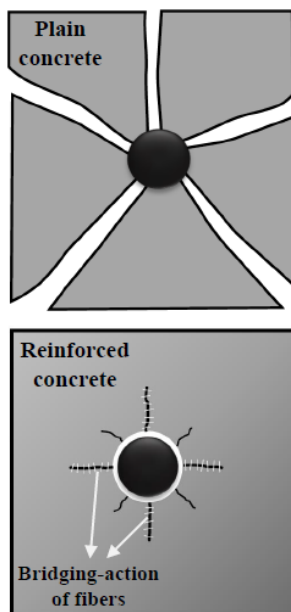


شکل ۱۱ دستگاه آزمایش ضربه وزنه افتان



شکل ۱۲ ایجاد ترک اولیه در نمونه‌های دال

۵ و ۷/۵ سانتی‌متر به ترتیب افزایش مقاومت ۵۱/۲۲، ۶۸/۷۳ و ۸۳/۹ برابری را نسبت به نمونه شاهد ایجاد کند. نکته قابل توجه تفاوت در نحوه گسیختگی دال‌ها بود، نحوه‌ی گسیختگی دال‌های بدون الیاف به صورت گسترش ترک‌های اولیه در تمام سطح دال و چندتکه شدن آن است، در صورتی که دال‌های دارای الیاف فولادی با چقرمگی بسیار بالاتری رفتار کرده و گسیختگی آن‌ها اغلب به صورت ایجاد حفره بر اثر تعداد دفعات بالای ضربه رخ داد. تفاوت در نحوه گسیختگی دال‌ها به صورت شماتیک در شکل (۱۳) آمده است.

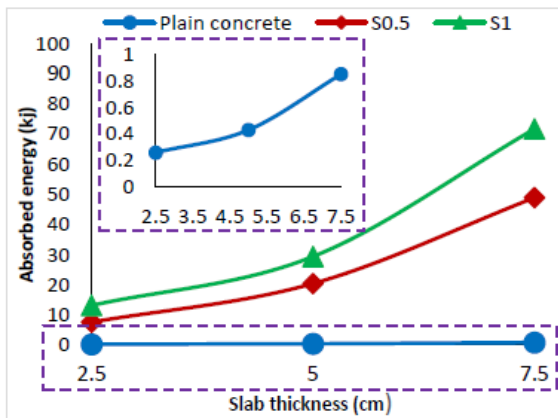


شکل ۱۳ طرح شماتیک نحوه گسیختگی در دال‌های بتنی غیر مسلح و مسلح به الیاف فولادی در آزمایش ضربه وزنه افتان

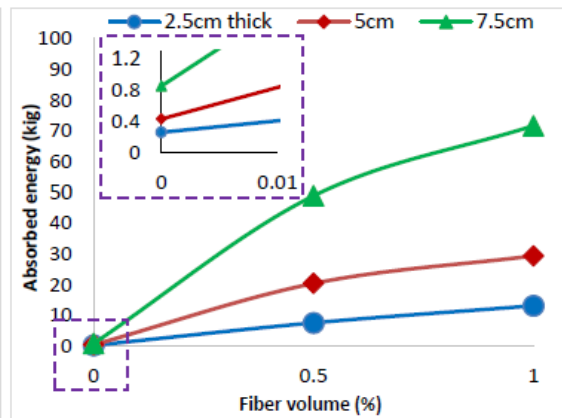
مقاومت نهایی. در آزمایش ضربه وزنه افتان تعداد ضربه برای ایجاد انهدام نمونه‌ها نیز برداشت و در جدول (۸) نشان داده شده است. نکته قابل توجه در رفتار نمونه‌های بدون الیاف، ترد شکنی آن‌ها بود. در این نمونه‌ها مشاهده شد بعد از ایجاد اولین ترک خیلی سریع بعد از چند ضربه ترک‌ها در تمام سطح دال بتنی گسترش یافته و دال به چندتکه تقسیم شد. افزایش ضخامت دال بتنی از ۲/۵ سانتی‌متر به ۵ و ۷/۵ سانتی‌متر نیز نتوانست این ترد شکنی را به میزان قابل توجهی بهبود بخشد و در این دال‌ها نیز بعد از ایجاد اولین ترک با چند ضربه نمونه به گسیختگی کامل رسید. افزایش ضخامت دال بتنی از ۲/۵ سانتی‌متر به ۵ و ۷/۵ سانتی‌متر توانست مقاومت نهایی را به ترتیب ۱/۶۷ و ۳/۳۳ برابر افزایش دهد. افزودن الیاف‌های فولادی برخلاف افزایش ضخامت با ایجاد چقرمگی بالا در نمونه‌ها تعداد ضربه برای ایجاد انهدام در نمونه‌ها را به میزان قابل توجهی افزایش داد. تأثیر الیاف‌های فولادی در افزایش مقاومت نهایی همانند مقاومت اولین ترک در دال‌های ضخیم‌تر بیشتر بود، به طوری که افزودن ۰/۵ درصد الیاف فولادی در دال‌های با ضخامت ۲/۵ سانتی‌متر توانست افزایش مقاومت نهایی ۲۹/۵۶ برابری را نسبت به نمونه شاهد (T2.5-S0) ایجاد کند در صورتی که همین مقدار الیاف در دال‌های با ضخامت ۵ و ۷/۵ سانتی‌متر افزایش مقاومت نهایی ۴۷/۷۳ و ۵۷/۲ برابری را ایجاد کرد. افزودن ۱ درصد الیاف فولادی نیز توانست در دال‌های با ضخامت ۲/۵،

افزایش ضخامت در دال‌های بدون الیاف بسیار ناچیز است که نشان می‌دهد ضخامت دال‌ها بر خلاف پارامتر درصد الیاف، پارامتر مناسبی برای افزایش مقاومت ضربه‌ای و جذب انرژی دال‌ها نیست. البته همان‌طور که در نمودار شکل (۱۵) مشاهده می‌شود، افزایش ضخامت در دال‌های دارای الیاف فولادی باعث افزایش قابل توجه جذب انرژی می‌شود که به نظر می‌رسد علت آن افزایش مقدار الیاف موجود در دال باشد، زیرا در دال‌های بدون الیاف مشاهده شد افزایش ضخامت نمی‌تواند اثر چندانی بر افزایش جذب انرژی دال‌ها داشته باشد. تفاوت در نحوه گسیختگی دال‌ها در شکل (۱۶) مشاهده می‌شود.

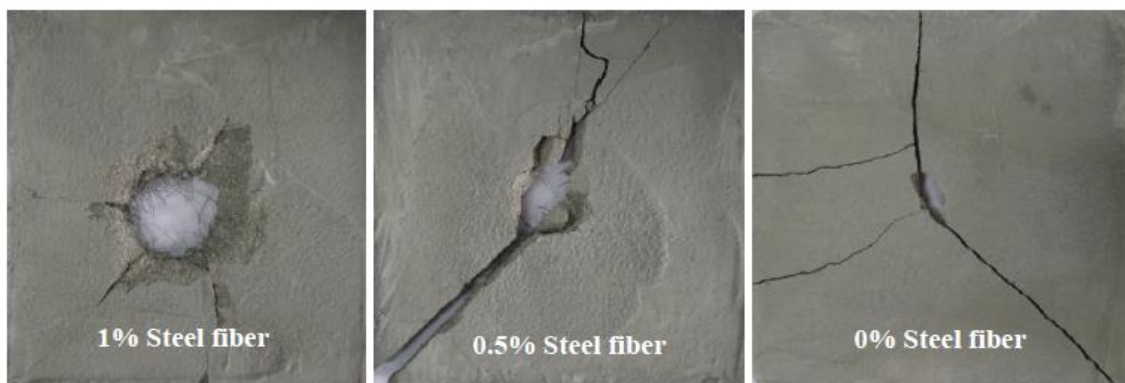
انرژی جذب شده. با استفاده از رابطه (۵) انرژی جذب شده نمونه‌ها تا لحظه ایجاد گسیختگی بر حسب کیلوژول محاسب شده و در جدول (۸) نشان داده شده است. در نمودار شکل (۱۴) اثر الیاف فولادی بر روی جذب انرژی دال‌های با ضخامت مختلف نشان داده شده است که این نمودار نشان دهنده تأثیر بسیار بالای الیاف فولادی بر روی جذب انرژی نمونه‌ها دارد. با توجه به نمودار حاصل شده مشخص می‌شود تأثیر الیاف فولادی بر روی جذب انرژی نمونه‌ها در دال‌های ضخیم‌تر بیشتر است. در نمودار شکل (۱۵) نیز تأثیر افزایش ضخامت بر جذب انرژی دال‌های دارای درصدهای مختلف الیاف نشان داده شده است. تأثیر



شکل ۱۵ اثر افزایش ضخامت در افزایش جذب انرژی دال‌ها



شکل ۱۴ اثر درصد الیاف فولادی در افزایش جذب انرژی دال‌ها



شکل ۱۶ تفاوت در نحوه گسیختگی دال‌ها

جدول ۸ نتایج آزمایش ضربه وزنه افتان

Specimen	Resistance of the first crack	Average	Ultimate Resistance	Average	Absorbed energy (kj)	Average (kj)
	1		2		0.17	
T2.5-S0	2	1.67	4	3	0.34	0.26
	2		3		0.26	
	32		86		7.34	
T2.5-S0.5	36	30.67	107	88.67	9.13	7.57
	24		73		6.23	
	66		162		13.83	
T2.5-S1	48	61.67	121	153.67	10.33	13.12
	71		178		15.2	
	3		5		0.43	
T5-S0	2	2.67	4	5	0.34	0.43
	3		6		0.51	
	92		287		24.49	
T5-S0.5	65	69.66	232	238.67	19.8	20.37
	52		197		16.81	
	81		302		25.77	
T5-S1	114	101	401	343.67	34.22	29.33
	108		328		27.99	
	5		10		0.85	
T7.5-S0	7	6	11	10	0.94	0.85
	6		9		0.77	
	182		574		48.99	
T7.5-S0.5	221	200.33	630	572	53.77	48.82
	198		512		43.70	
	293		902		76.98	
T7.5-S1	267	286.33	801	839	68.36	71.61
	299		814		69.47	

نتایج

نتایج آزمایش ضربه وزنه افتان نشان‌دهنده تأثیر بسیار بالای الیاف فولادی بر روی مقاومت اولین ترک و مقاومت نهایی دال‌ها است. با مقایسه نتایج آزمایش بر روی دال‌های با ضخامت مختلف متوجه می‌شویم الیاف فولادی بر روی افزایش مقاومت دال‌های ضخیم‌تر تأثیر بیشتری را داشته است. از طرفی نتایج نشان‌دهنده تأثیر

در این تحقیق خصوصیات مکانیکی و ضربه‌ای بتن‌های کامپوزیتی توانمند بررسی شده است. هدف اصلی از انجام این تحقیق بررسی و مقایسه اثر دو پارامتر افزایش ضخامت و افزودن الیاف فولادی بر روی مقاومت ضربه‌ای دال‌های بتنی تحت اثر ضربه وزنه افتان است.

کارایی و تراکم بتن را نشان دادند. با مقایسه تأثیر الیاف فولادی بر روی مقاومت ضربه‌ای و خصوصیات مکانیکی (فشاری، کششی و خمشی) بتن مشاهده می‌شود که تأثیر این الیاف در بهبود رفتار ضربه‌ای بتن نسبت به تأثیر آن در بهبود خصوصیات مکانیکی بتن بسیار قابل توجه‌تر است، به طوری که در بهترین حالت افزودن ۱ درصد الیاف فولادی توانست مقاومت فشاری، کششی و خمشی را به ترتیب ۱۰، ۱۲۳ و ۸۷ درصد افزایش دهد در صورتی که همین مقدار الیاف فولادی در بهترین حالت موجب افزایش ۸۳ برابری مقاومت ضربه‌ای دال بتنی شد.

بسیار کم پارامتر ضخامت بر روی افزایش مقاومت ضربه‌ای دال‌ها بوده است که در مقایسه با تأثیر الیاف فولادی ناچیز و قابل صرف نظر کردن است، بنابراین افزودن الیاف فولادی پارامتر مناسب‌تری برای افزایش مقاومت ضربه‌ای دال‌ها است.

با انجام آزمایش مقاومت فشاری بر روی نمونه‌های با درصد‌های مختلف الیاف فولادی مشاهده شد الیاف فولادی نمی‌تواند تأثیری بر روی افزایش مقاومت فشاری داشته باشد، در صورتی که این الیاف توانست در افزایش مقاومت کششی و خمشی نمونه‌ها به طور قابل توجهی مؤثر واقع شود. آزمایش‌های مربوط به بتن خودتراکم تازه و اولتراسونیک نیز تأثیر منفی الیاف فولادی بر روی

مراجع

1. Nehdi, M., and Ladanchuk, J.D., "Fiber synergy in fiber-reinforced self-consolidating concrete", *ACI Materials Journal*, Vol. 101, No. 6, pp. 508-517, (2004).
2. Wild, S., Sabir, BB., and Khatib, JM., "Factors influencing strength development of concrete containing silica fume", *Cement Concrete Res*, Vol. 25, No. 7, pp. 1567-1580, (1995).
3. Mastali, M., and Dalvand, A., "Use of silica fume and recycled steel fibers in self-compacting concrete", *construction and building materials*, Vol. 125, pp. 196-209, (2016).
4. Khayat, K.H., and Roussel, Y., "Testing and performance of fiber reinforced, self-consolidating Concrete", Skarendahl, A., and Petersson, O., editors, *Proceedings of the first international RILEM symposium on self-compacting concrete*, Stockholm, Sweden, pp. 36-48, (1999).
5. Bader, and Ashour., "Modified ACI Drop-weight impact test for concrete", *ACI materials Journal*, Vol. 102, No. 4, pp. 249-255, (2005).
6. Ozawa, K., Maekawa, K., and Okamura, H., "Self-Compacting high performance concrete", *Collected Papers (University of Tokyo: Department of Civil Engineering)*, Vol. 34, pp. 135-149, (1996).
7. Okamura, H., "Self Compacting High-Performance Concrete", *Concrete International*, pp 50-54, (1997).
8. Persson, B., "A Comparison between mechanical properties of self-copmacting concrete and the corresponding properties of normal concrete", *Cement and Concrete Research*, Vol. 31, No. 2, pp. 193-198, (2001).
9. Mastali, M., Dalvand, A., and Sattarifard, A., "The impact resistance and mechanical properties of the reinforced self-compacting concrete incorporating recycle CFRP fiber with different and dosages",

- Composite part B*, Vol. 112, pp. 74-92, (2017).
10. Song, P.S., Hwang, S., and Sheu, B.C., "Strength properties of nylon-and_ polypropylene-fiber reinforced concretes", *Cement and Concrete Research*, Vol. 35, No. 8, pp. 1546-1550, (2005).
 11. Deng, Z., and Li, J., "Tension and impact behaviors of new type fiber reinforced concrete", *Cement Concrete Res*, Vol. 25, No. 15, pp. 189-204, (2005).
 12. Sudarsana Rao, H., Vaishali. Ghorpade, G. N.V., and Gnaneswar, K., "Response of SIFCON two-way slabs under impact loading", *International Journal of Impact Engineering*, Vol. 37, pp. 452-458, (2010).
 13. Bindiganavile, V., and Banthia, N., "Polymer and steel fiber-reinforced cementitious composites under impact loading, Part 2: Flexural toughness", *ACI Materials Journal*, Vol. 98, No. 1, pp. 17-24, (2001).
 14. Parviz, S., Ataulah, Kh., and Hsu, J.W., "Mechanical properties of concrete materials reinforced with polypropylene or polyethylene fibers", *ACI Materials Journal*, Vol. 89, NO. 6, pp. 535-540, (1992).
 15. ASTM C150, Standard Specification for Portland Cement, ASTM International, West Conshohocken, PA, USA, 2012.
 16. Nagataki, S., Fujiwara, H., "Self-compacting property of highly-flowable concrete, in: V.M. Malhotra (Ed.)", *American Concrete Institute*, Vol. 154, pp. 301-314, (1995).
 17. ASTM C 39, Standard Test Method for Compressive Strength of Cylindrical Concrete Specimens, ASTM International, West Conshohocken, PA, USA, 2003.
 18. ASTM C496, Standard Test Method for Splitting Tensile Strength of Cylindrical Concrete Specimens, ASTM International, West Conshohocken, PA, USA, 1994.
 19. El-Dieb, A., "Mechanical, durability and microstructural characteristics of ultrahigh- strength self-compacting concrete incorporating steel fibers", *J. Mater. Des*, Vol. 30, pp. 4286-4292, (2009).
 20. Aslani, F., Nejadi, S., "Self-compacting concrete incorporating steel and polypropylene fibers: compressive and tensile strengths, moduli of elasticity and rupture, compressive stress-strain curve, and energy dissipated under compression", *J. Compos. B: Eng*, Vol. 53, pp. 121-133, (2013).
 21. Iqbal, S., Ali, A., Holschemacher, K., and Bier, T.A., "Mechanical properties of steel fiber reinforced high strength lightweight self-compacting concrete (SHLSCC)", *J. Constr. Build. Mater.* Vol. 98, pp. 325-333, (2015).
 22. Altun, F. and Aktas, B., "Investigation of reinforced concrete beams behavior of steel fiber added lightweight concrete", *J. Constr. Build. Mater*, Vol. 38, pp. 575-581, (2013).
 23. ASTM C78, Standard Test Method for Flexural Strength of Concrete (Using Simple Beam with Third-Point Loading), ASTM International, West Conshohocken, PA, USA, 2010.
 24. Chao-Lung, H., Anh-Tuan, B.L., and Chun-Tsun, C., "Effect of rice husk ash on the strength and durability characteristics of concrete", *J. Constr. Build. Mater*, Vol. 25, pp. 3768-3772, (2011).

25. Demirboga, R., Turkmen, I., and Karako, M.B., "Relationship between ultrasonic velocity and compressive strength for high-volume mineral-admixed concrete", *J. Cem. Concr. Res.* Vol. 34, pp. 2329-2336, (2004).
26. Prassianakis, I.N., and Giokas, P., "Mechanical properties of old concrete using destructive and ultrasonic non-destructive testing methods", *Mag. Concr. Res.*, Vol. 55, pp. 171-176, (2003).

